



## Analyse topologique des données en Mécanique

**Dina Razafindralandy<sup>†</sup>, Francisco Chinesta<sup>‡</sup>**

<sup>†</sup> LaSIE, La Rochelle Université – UMR CNRS 7356

<sup>‡</sup> PIMM, ENSAM – UMR CNRS 8006

GDR Géométrie Différentielle et Mécanique  
Bordeaux, 28 Juin-01 Juillet 2022

# Plan

1. Rappels sur l'analyse topologique des données (TDA)

→ Persistance topologique

2. Quelques applications en mécanique

## Approche 1 : Nuage de points → Maillage

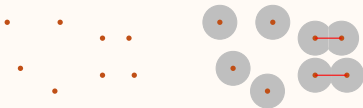
- ▶ Maillage  $\implies$  Calcul différentiel discret  
(interpolation, résolution équation, calcul extérieur, ...)
- ▶ Connecter les points “proches”



## Approche 1 : Nuage de points $\longrightarrow$ Maillage

- ▶ Maillage  $\implies$  Calcul différentiel discret  
(interpolation, résolution équation, calcul extérieur, ...)
- ▶ Connecter les points “proches”
- ▶ Exemple: Proche  $\iff$  distance  $\leq 2r$

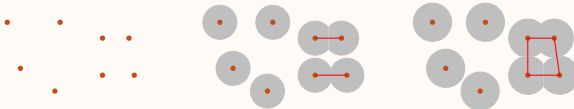
Alpha Complex



## Approche 1 : Nuage de points $\longrightarrow$ Maillage

- ▶ Maillage  $\implies$  Calcul différentiel discret  
(interpolation, résolution équation, calcul extérieur, ...)
- ▶ Connecter les points “proches”
- ▶ Exemple: Proche  $\iff$  distance  $\leq 2r$

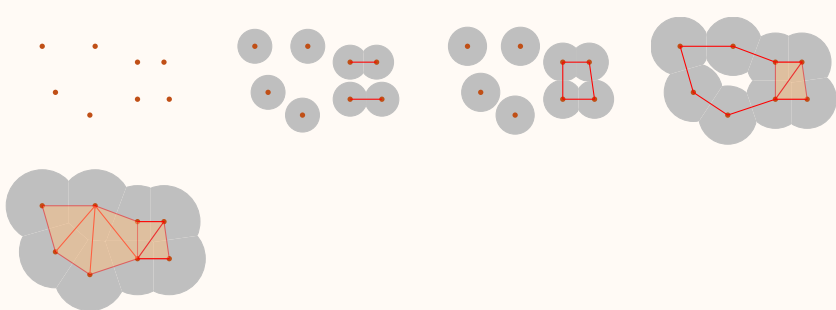
Alpha Complex



# Approche 1 : Nuage de points $\rightarrow$ Maillage

- ▶ Maillage  $\implies$  Calcul différentiel discret  
(interpolation, résolution équation, calcul extérieur, ...)
- ▶ Connecter les points “proches”
- ▶ Exemple: Proche  $\iff$  distance  $\leq 2r$

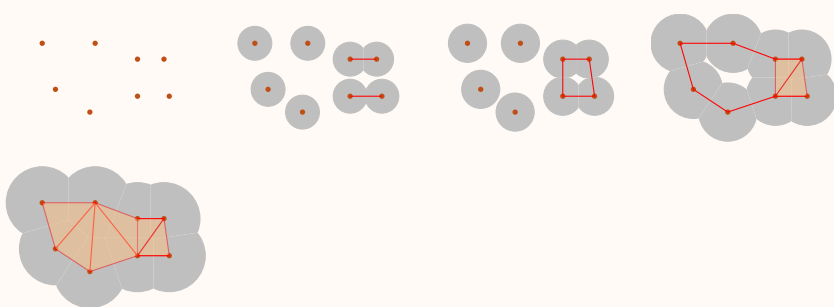
Alpha Complex



# Approche 1 : Nuage de points $\rightarrow$ Maillage

- ▶ Maillage  $\implies$  Calcul différentiel discret  
(interpolation, résolution équation, calcul extérieur, ...)
- ▶ Connecter les points “proches”
- ▶ Exemple: Proche  $\iff$  distance  $\leq 2r$

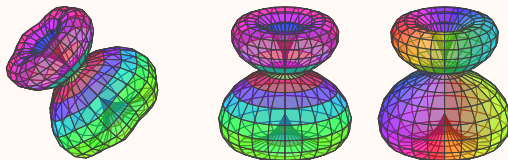
Alpha Complex



- ▶ Choix de  $r$  → Persistance topologique

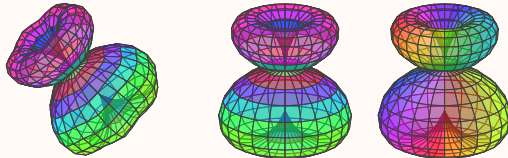
## Approche 2 : Analyse de données sur un maillage avec une fonction de filtration

- ▶ Données sur un maillage
- ▶ Fonction de filtration :  $f : \{\text{données}\} \longmapsto \mathbb{R}$



## Approche 2 : Analyse de données sur un maillage avec une fonction de filtration

- ▶ Données sur un maillage
- ▶ Fonction de filtration :  $f : \{\text{données}\} \longmapsto \mathbb{R}$



- ▶ Extraire des informations topologiques pertinentes  
Robuste aux bruits
  - ▶ Construire une empreinte à partir des invariants topologiques  
Réduction de dimension, Comparaison, Régression non-linéaire
- Persistence topologique

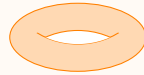
# Invariants topologiques ? Nombres de Betti $(\beta_k)_{k \in \mathbb{N}}$



$$\beta_0 = 2, \beta_1 = 1, \beta_{k \geq 2} = 0$$



$$\beta_0 = 1, \beta_1 = 0, \beta_2 = 1$$



$$\beta_0 = 1, \beta_1 = 2, \beta_2 = 1$$

- Espace projectif  $\mathbb{P}^n(\mathbb{R})$ :  $\beta_0 = 1, \beta_n = 1 - (-1)^n, \beta_k = 0$  sinon
- Bouteille de Klein:  $(1, 2, 1)$
- $SO(3) : (1, 0, 1), SO(4) : (1, 0, 0, 2, 0, 0, 1), SO(5) : (1, 0, 0, 1, 0, 0, 0, 1)$

# Invariants topologiques ? Nombres de Betti $(\beta_k)_{k \in \mathbb{N}}$



$$\beta_0 = 2, \beta_1 = 1, \beta_{k \geq 2} = 0$$



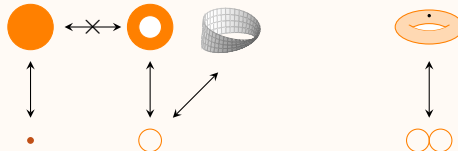
$$\beta_0 = 1, \beta_1 = 0, \beta_2 = 1$$



$$\beta_0 = 1, \beta_1 = 2, \beta_2 = 1$$

- Espace projectif  $\mathbb{P}^n(\mathbb{R})$ :  $\beta_0 = 1, \beta_n = 1 - (-1)^n, \beta_k = 0$  sinon
- Bouteille de Klein:  $(1, 2, 1)$
- $SO(3) : (1, 0, 1), SO(4) : (1, 0, 0, 2, 0, 0, 1), SO(5) : (1, 0, 0, 1, 0, 0, 0, 1)$

- ▶ Invariant par homomorphisme (ex: triangulation)
- ▶ Invariant par homotopie (déformation continue)

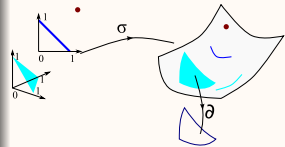


# Plus sur les Nombres de Betti

$k$ -simplex:  $\sigma : \Delta_k \longrightarrow M$  continu

$k$ -chaîne:  $\sum_{k\text{-simplexe } \sigma} c_\sigma \sigma$

Bord:  $\partial_k \sigma = \sum \sigma|_{face_{k-1}}$   
somme des restrictions de  $\sigma$  aux  $k-1$ -faces de  $\Delta_k$



$$\beta_k = \text{rank } H_k \quad \text{ où } \quad H_k = \frac{\ker \partial_k}{\text{Im } \partial_{k+1}} = \frac{\{k\text{-cycle}\}}{\{k\text{-bord}\}} \quad k\text{-th homology group}$$

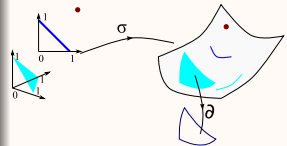
Ex: 0-cycle =  $\Sigma$  points, 1-cycle =  $\Sigma$  lacets, 2-cycle =  $\Sigma$  surface sans bord

# Plus sur les Nombres de Betti

$k$ -simplex:  $\sigma : \Delta_k \longrightarrow M$  continu

$k$ -chaîne:  $\sum_{k\text{-simplexe } \sigma} c_\sigma \sigma$

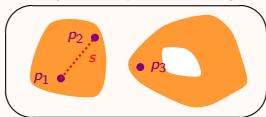
Bord:  $\partial_k \sigma = \sum \sigma|_{face_{k-1}}$   
somme des restrictions de  $\sigma$  aux  $k-1$ -faces de  $\Delta_k$



$$\beta_k = \text{rank } H_k \quad \text{où} \quad H_k = \frac{\ker \partial_k}{\text{Im } \partial_{k+1}} = \frac{\{k\text{-cycle}\}}{\{k\text{-bord}\}}$$

$k$ -th homology group

Ex: 0-cycle =  $\Sigma$  points, 1-cycle =  $\Sigma$  lacets, 2-cycle =  $\Sigma$  surface sans bord



$$p_1 \sim p_2 \quad \text{car} \quad p_1 + p_2 = \partial s$$

$$p_1 \not\sim p_3$$

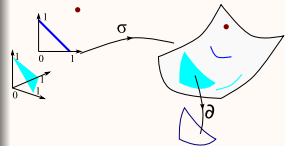
$$H_0 = \text{span}\{\bar{v}_1, \bar{v}_3\}, \quad \beta_0 = 2$$

# Plus sur les Nombres de Betti

$k$ -simplex:  $\sigma : \Delta_k \longrightarrow M$  continu

$k$ -chaîne:  $\sum_{k\text{-simplexe } \sigma} c_\sigma \sigma$

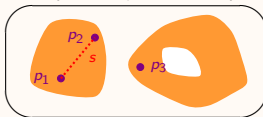
Bord:  $\partial_k \sigma = \sum \sigma|_{face_{k-1}}$   
somme des restrictions de  $\sigma$  aux  $k-1$ -faces de  $\Delta_k$



$$\beta_k = \text{rank } H_k \quad \text{où} \quad H_k = \frac{\ker \partial_k}{\text{Im } \partial_{k+1}} = \frac{\{k\text{-cycle}\}}{\{k\text{-bord}\}}$$

$k$ -th homology group

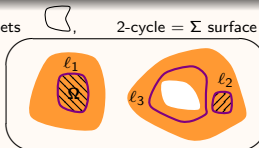
Ex: 0-cycle =  $\Sigma$  points, 1-cycle =  $\Sigma$  lacets, 2-cycle =  $\Sigma$  surface sans bord



$$p_1 \sim p_2 \quad \text{car} \quad p_1 + p_2 = \partial s$$

$$p_1 \not\sim p_3$$

$$H_0 = \text{span}\{\bar{v}_1, \bar{v}_3\}, \quad \beta_0 = 2$$



$$\ell_1 \sim 0 \quad \text{car} \quad \ell_1 = \partial \Omega$$

$$\ell_2 \sim 0, \quad \ell_3 \not\sim 0$$

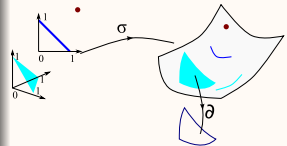
$$H_1 = \text{span}\{\bar{\ell}_1, \bar{\ell}_3\}, \quad \beta_1 = 2$$

# Plus sur les Nombres de Betti

$k$ -simplex:  $\sigma : \Delta_k \longrightarrow M$  continu

$k$ -chaîne:  $\sum_{k\text{-simplexe } \sigma} c_\sigma \sigma$

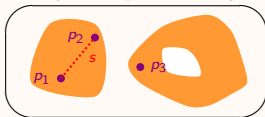
Bord:  $\partial_k \sigma = \sum \sigma|_{face_{k-1}}$   
somme des restrictions de  $\sigma$  aux  $k-1$ -faces de  $\Delta_k$



$$\beta_k = \text{rank } H_k \quad \text{où} \quad H_k = \frac{\ker \partial_k}{\text{Im } \partial_{k+1}} = \frac{\{k\text{-cycle}\}}{\{k\text{-bord}\}}$$

$k$ -th homology group

Ex: 0-cycle =  $\Sigma$  points, 1-cycle =  $\Sigma$  lacets



$$p_1 \sim p_2 \quad \text{car} \quad p_1 + p_2 = \partial s$$

$$p_1 \not\sim p_3$$

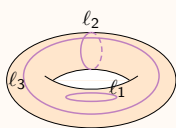
$$H_0 = \text{span}\{\bar{v}_1, \bar{v}_3\}, \quad \beta_0 = 2$$



$$\ell_1 \sim 0 \quad \text{car} \quad \ell_1 = \partial \Omega$$

$$\ell_2 \sim 0, \quad \ell_3 \not\sim 0$$

$$H_1 = \text{span}\{\bar{\ell}_1, \bar{\ell}_3\}, \quad \beta_1 = 2$$

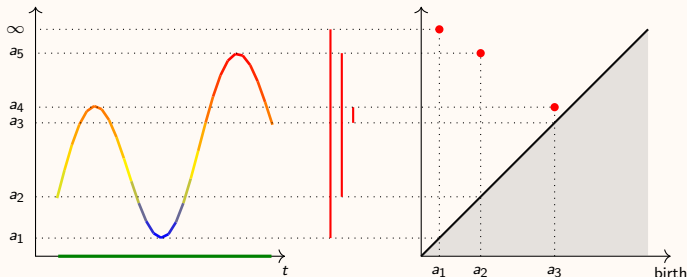


$$H_1 = \text{span}\{\bar{\ell}_2, \bar{\ell}_3\}, \quad \beta_1 = 2$$

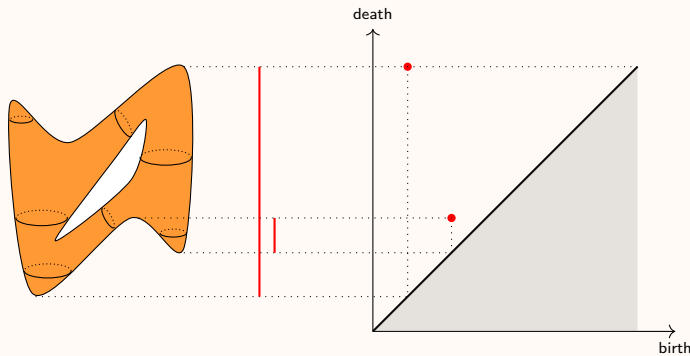
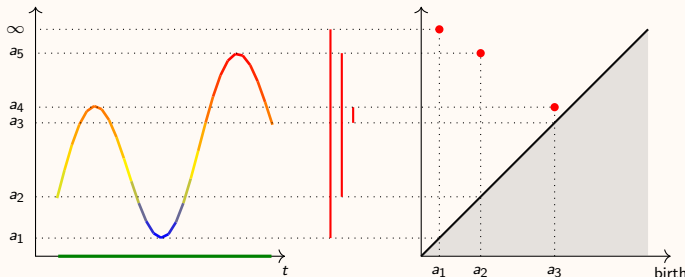
$\mathbb{T}^2$  est un 2-cycle mais pas un 2-bord

$$H_2 = \text{span}\{\mathbb{T}^2\}, \quad \beta_2 = 1$$

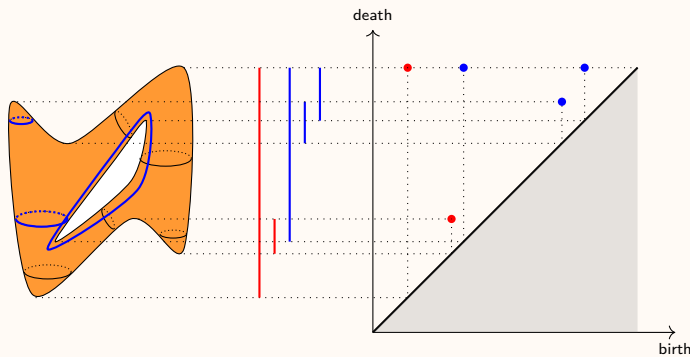
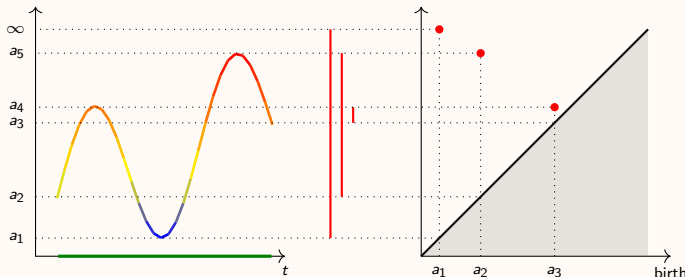
# Persistance topologique



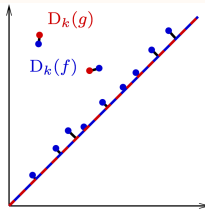
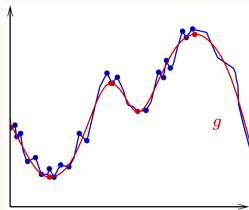
# Persistance topologique



# Persistance topologique



# Métrique dans l'espace des diagrammes



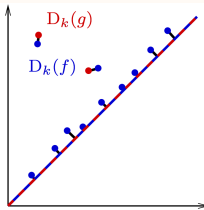
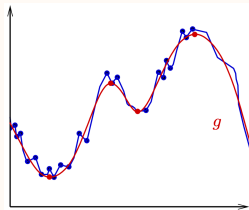
Wasserstein distance

$$W_p(D, D') = \inf_{\beta \in B} \left( \sum_{x \in D} \|x - \beta(x)\|_p^p \right)^{1/p}$$

$$B = \{\text{bijection } D_1 \cup \Delta \longrightarrow D_2 \cup \Delta\}$$

Bottleneck distance:  $W_\infty(D, D') = \inf_{\beta \in B} \sup_{x \in D} \|x - \beta(x)\|_\infty$

# Métrique dans l'espace des diagrammes



Wasserstein distance

$$W_p(D, D') = \inf_{\beta \in B} \left( \sum_{x \in D} \|x - \beta(x)\|_p^p \right)^{1/p}$$

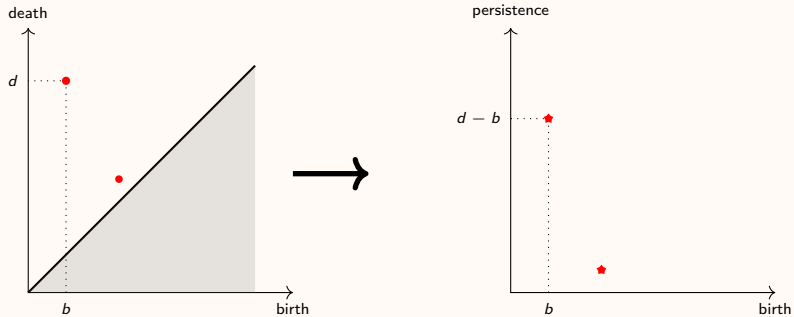
$$B = \{\text{bijection } D_1 \cup \Delta \longrightarrow D_2 \cup \Delta\}$$

Bottleneck distance:  $W_\infty(D, D') = \inf_{\beta \in B} \sup_{x \in D} \|x - \beta(x)\|_\infty$

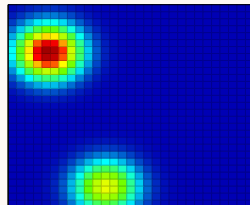
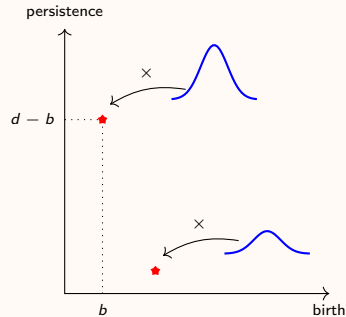
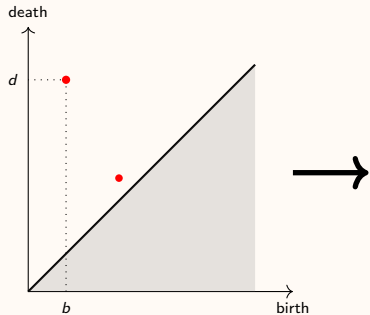
Stabilité. Tame functions  $f, g : X \longrightarrow \mathbb{R}$

$$W_\infty(D(f), D(g)) \leq \|f - g\|_\infty$$

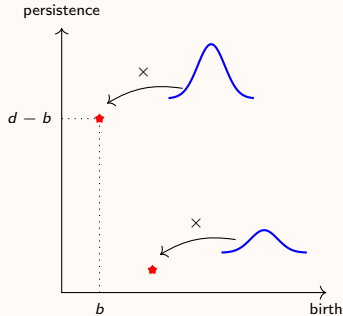
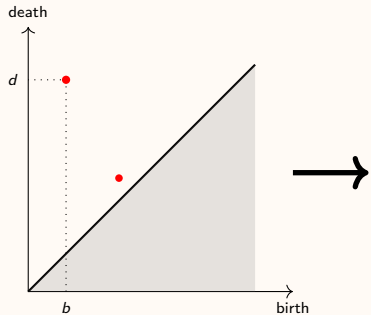
## Image de persistance



## Image de persistance



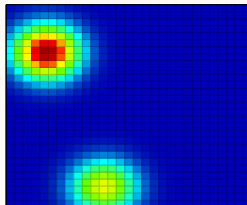
# Image de persistance



## Stabilité

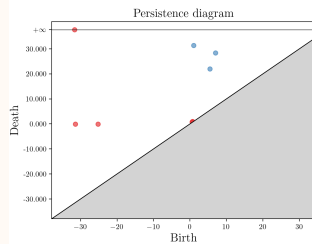
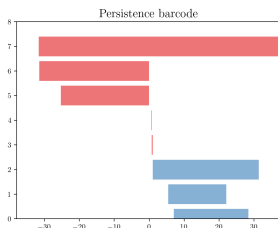
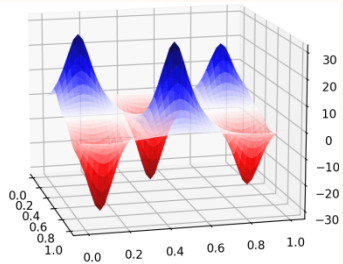
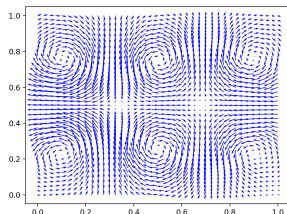
$$\begin{aligned} \| \text{Image}(Dia) - \text{Image}(Dia') \|_1 \\ \leq C \cdot W_1(Dia, Dia') \end{aligned}$$

[Adams et al, 1997]

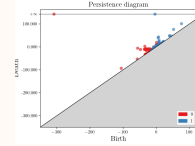
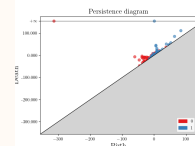
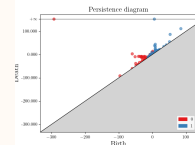
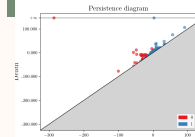
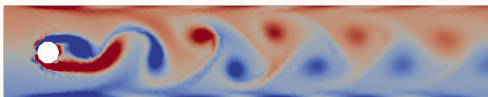
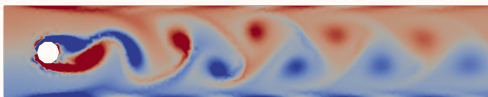
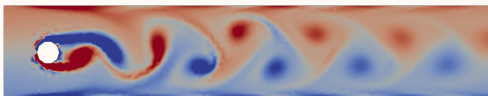
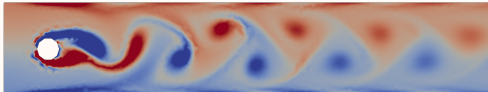


# Écoulement tourbillonnaire.

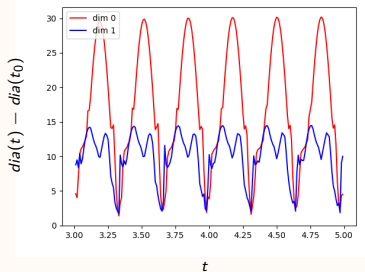
Filtration =vorticité



$\omega \in [-286, 300]$ . Color limited to:  
vorticity<sub>Z</sub>



## Evolution des diagrammes

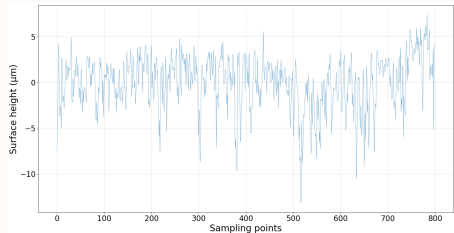
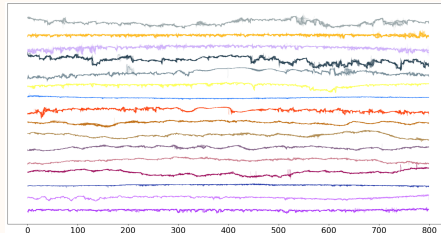
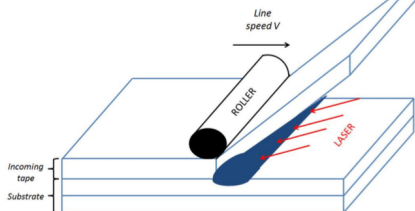


# Manufacture de fuselage par ATP

(Automated Tape Placement)

Consolidation  
thermo-plastique:

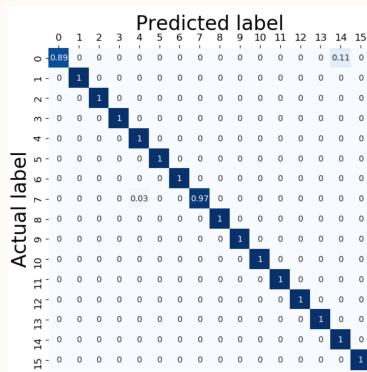
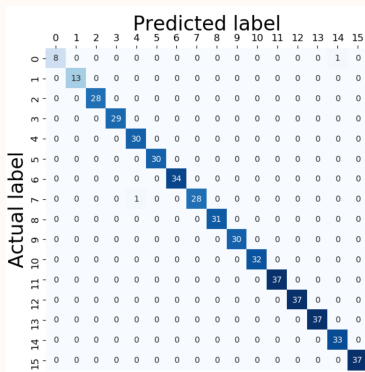
16 fournisseurs



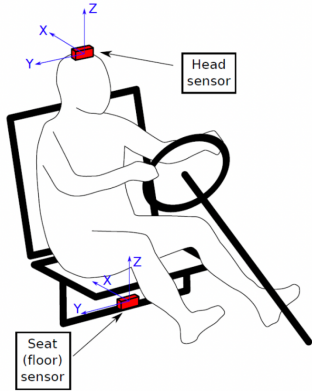
Distance Euclidienne directe ? Léger décallage en espace  $\implies$  Grande distance

## Prédiction

- ▶ Base de données (images de persistance) construites avec 883 profils
  - ▶ Prédiction pour 476 profils



# Conduite assistée



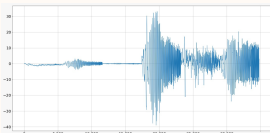
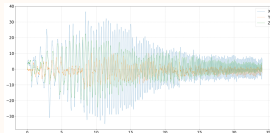
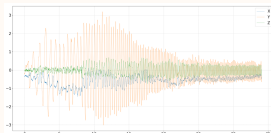
► 8 états

1. Relaxed, Rigid seat, Driver
2. Relaxed, Rigid seat, Passenger
3. Relaxed, SAV seat, Driver
4. Relaxed, SAV seat, Passenger
5. Tense, Rigid seat, Driver
6. Tense, Rigid seat, Passenger
7. Tense, SAV seat, Passenger
8. Tense, SAV seat, Driver

► 1 état → 6 séries temporelles

$$(\ddot{x}, \ddot{y}, \ddot{z}, \ddot{\theta}_x, \ddot{\theta}_y, \ddot{\theta}_z)$$

Concaténation en 1 seule série

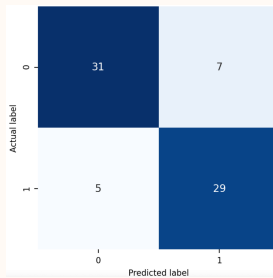


# Prédiction

- ▶ Entraînement: 144 échantillons
- ▶ Prédiction: 72 échantillons

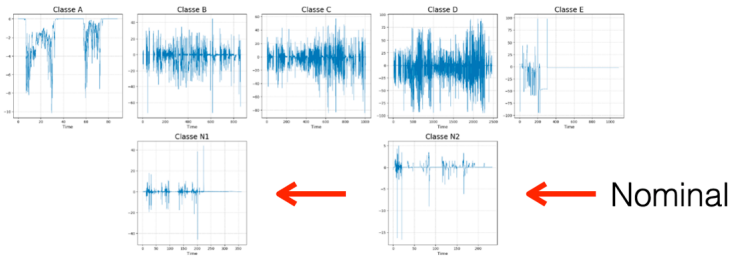
0 = Relaxed

1 = Tense

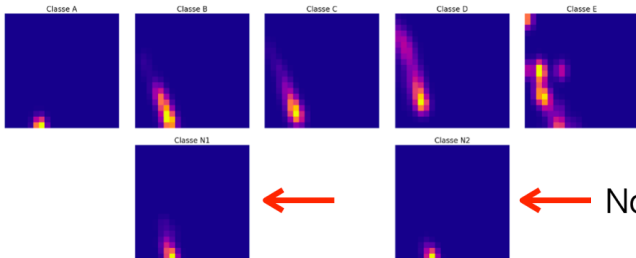
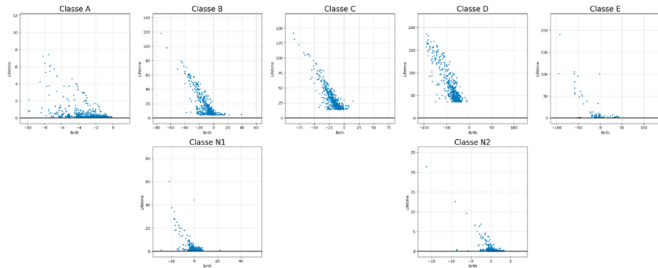


- ▶ 83% de bonnes réponses
- ▶ Enrichir le nombre d'échantillons (9 personnes)

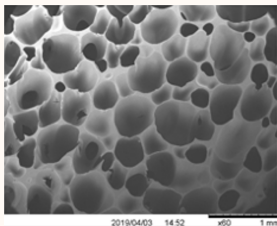
# Défaut sur une voiture



# Défaut sur une voiture



# Microstructure

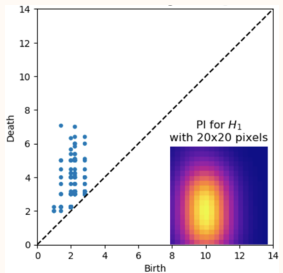
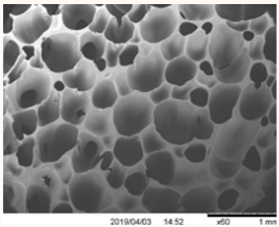


- ▶ Conductivité thermique de  $N$  échantillons

(éléments finis ou expérience)

Différentes distributions de pores

# Microstructure



- ▶ Conductivité thermique de  $N$  échantillons

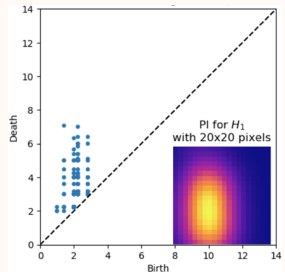
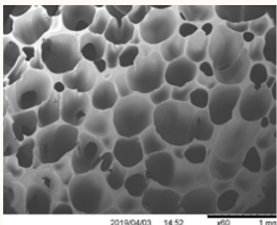
Différentes distributions de pores

- ▶ Régression non linéaire

- ★ Image de persistance:  $20 \times 20$
- ★ Analyse en composantes principales:  $(\alpha_1, \alpha_2, \alpha_3)$

(éléments finis ou expérience)

# Microstructure



- ▶ Conductivité thermique de  $N$  échantillons

Différentes distributions de pores

(éléments finis ou expérience)

- ▶ Régression non linéaire

- ★ Image de persistance:  $20 \times 20$
- ★ Analyse en composantes principales:  $(\alpha_1, \alpha_2, \alpha_3)$

- ▶ Prédiction pour un nouvel échantillon

Nb échantillons $N$	Erreur relative
13	0.076
16	0.056
19	0.046
35	0.037

## Conclusion

- ▶ TDA: grande potentiel d'utilisation
- ▶ Empreinte compacte, sépare les bruits de l'information pertinente
  - Comparaison robuste aux bruits
- ▶ Interpolation non-linéaire
- ▶ Détection/classification de tourbillons complexes
- ▶ Contrôle d'écoulements